

УДК 539.3

**ОПРЕДЕЛЕНИЕ ПЛАСТИЧЕСКОЙ ЗОНЫ МАССИВА ПОРОД
В ОКРЕСТНОСТИ ПРОТЯЖЕННОЙ ЦИЛИНДРИЧЕСКОЙ ВЫРАБОТКИ
ПО ДАННЫМ ИЗМЕРЕНИЙ СМЕЩЕНИЙ НА ЕЕ ГРАНИЦЕ**

А. И. Чанышев^{1,2}, И. М. Абдулин¹

¹*Институт горного дела им. Н. А. Чинакала СО РАН, E-mail: a.i.chanyshev@gmail.com,
Красный проспект, 54, 630091, г. Новосибирск, Россия*

²*Новосибирский государственный университет экономики и управления,
ул. Каменская, 52, 6300099, г. Новосибирск, Россия*

Показано, как по измеренным смещениям на границе цилиндрической выработки (шахтного ствола) в рамках модели идеально-пластического тела определяется деформированное состояние массива пород вокруг выработки, кроме того, находятся упругопластическая граница и смещения в пластической области деформирования.

Пластичность, осесимметричная деформация, смещения, упругопластическая граница

Основным инструментом геомеханических исследований являются измерения смещений. По ним находятся напряжения, по характеру роста смещений — условия роста трещин, обрушения кровли, бортов карьеров открытых горных работ. Смещения — важное звено в экспериментально-аналитическом методе, развиваемом в ИГД СО РАН [1–3]. С помощью смещений формулируются обратные задачи геомеханики, связанные с информацией о параметрах залочного массива, глубиной залегания полости по конфигурации мульды оседания [4, 5]. Актуальными остаются задачи о внезапных выбросах газа и угля, горных ударах. Для их решения необходимо знание области разрушения массива пород. В данной работе эта задача так же решается с помощью смещений.

Постановка задачи. Пусть в массиве горных пород пройдена протяженная выработка. Пусть это будет цилиндрическая выработка радиуса a . Для простоты ограничимся рассмотрением случая неподкрепленной выработки, контур которой свободен от напряжения. Кроме того, будем считать известными радиальные и осевые смещения массива пород на границе выработки (в процессе эксплуатации выработки их можно определить с помощью, например, лазерного сканирования). Решается следующая задача — по измеренным смещениям определить, в каком состоянии находится массив пород на границе выработки, не примыкает ли к ней зона разрушения и, если да, на какое расстояние вглубь от выработки она простирается, как распределены в ней напряжения, деформации, смещения, а также решить вопрос об оставшемся ресурсе прочности самого массива пород в окрестности выработки.

В данной работе под зоной разрушения понимается зона идеальной пластичности, в которой напряжения, отвечающие за рост сдвиговых деформаций, сохраняют постоянное (критическое) значение, сдвиги растут. Задача решается в осесимметричном случае деформирования, когда все

основные величины зависят только от полярного радиуса и осевой координаты. По смещениям на границе находятся смещения внутри массива пород, по этим смещениям восстанавливаются деформации, по деформациям — граница пластической области деформирования. В качестве базовых (как и в случае плоской деформации) принимаются уравнение, характеризующее изменение объема, и условие соосности тензоров напряжений и деформаций. Это, по существу, два уравнения для определения двух смещений (радиального и осевого). При этом напряжения в классической области деформирования находятся из статически определимой задачи, включающей в себя уравнения равновесия, условия пластичности и граничные условия для напряжений.

Что касается математической постановки задачи, то следует отметить, что большинство задач геомеханики рассматриваются либо в постановке Дирихле, когда на всей границе тела задаются смещения (2-я краевая задача), либо в постановке Неймана, когда на всей границе задается вектор напряжений Коши (1-я краевая задача), либо в постановке Робена, когда на части границы задается вектор смещений, на другой части — вектор напряжений Коши (3-я краевая задача). В данной работе для решения упругопластической осесимметричной задачи (рис. 1) предлагается на одной и той же границе — контуре выработки, задавать одновременно и вектор напряжений Коши, и вектор смещений, т. е. условия Дирихле и Неймана. Экспериментально эта постановка достаточно просто реализуется, когда контур выработки свободен от напряжений. В лабораторных условиях для регистрации смещений контура выработки (отверстия) при нагружении возможно использовать оптические приспособления, в натуральных условиях — лазерное сканирование.

Эту задачу можно исследовать в рамках плоской деформации (рис. 1а), когда в каждом сечении массива пород с выработкой имеем одно и то же распределение напряжений и деформаций, не зависящее от осевой координаты выработки. Данная задача решалась в многочисленных работах [6–15], где упругопластическая граница либо полностью охватывала контур выработки [6–14], либо частично [15]. Ниже задачу о распределении напряжений, деформаций и смещений вокруг цилиндрической выработки предлагается рассмотреть в осесимметричной постановке, когда зона пластичности имеет вид, представленный на рис. 1б в виде заштрихованной области (вид ограниченного сверху и снизу цилиндра), когда пластическая зона зависит не только от радиальной координаты, но и от осевой.

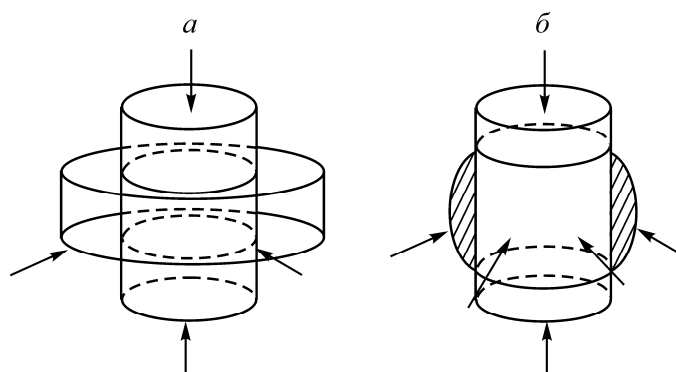


Рис. 1. Схема задачи для случая: *а* — плоской деформации, в рамках которой пластическая зона не зависит от осевой координаты выработки; *б* — осесимметричной деформации с заштрихованной пластической зоной. Стрелки указывают направления действия нагрузок

Показывается, что решение такой задачи в пластичности существует, единственно и непрерывно зависит от начальных данных.

Решение задачи. Для решения задачи в осесимметричном случае имеем уравнения равновесия:

$$\begin{cases} \frac{\partial \sigma_r}{\partial r} + \frac{\partial \tau_{rz}}{\partial z} + \frac{\sigma_r - \sigma_\varphi}{r} = 0, \\ \frac{\partial \tau_{rz}}{\partial z} + \frac{\tau_{rz}}{r} + \frac{\partial \sigma_z}{\partial z} = 0; \end{cases} \quad (1)$$

соотношения Коши:

$$\varepsilon_r = \frac{\partial u}{\partial r}, \quad \varepsilon_\varphi = \frac{u}{r}, \quad \varepsilon_z = \frac{\partial w}{\partial z}, \quad 2\varepsilon_{rz} = \frac{\partial u}{\partial z} + \frac{\partial w}{\partial r}, \quad (2)$$

где u, w — смещения; r, φ, z — цилиндрические координаты. Тензоры напряжений и деформаций в этом случае имеют вид

$$T_\sigma = \begin{pmatrix} \sigma_r & \sigma_{rz} & 0 \\ \sigma_{rz} & \sigma_z & 0 \\ 0 & 0 & \sigma_\varphi \end{pmatrix}, \quad T_\varepsilon = \begin{pmatrix} \varepsilon_r & \varepsilon_{rz} & 0 \\ \varepsilon_{rz} & \varepsilon_z & 0 \\ 0 & 0 & \varepsilon_\varphi \end{pmatrix}. \quad (3)$$

Граничные условия для напряжений:

$$\sigma_r|_{r=a} = 0, \quad \tau_{rz}|_{r=a} = 0. \quad (4)$$

Для тензора T_σ главные напряжения

$$\sigma_1 = \frac{\sigma_r + \sigma_z}{2} + \sqrt{\left(\frac{\sigma_r - \sigma_z}{2}\right)^2 + \tau_{rz}^2}, \quad \sigma_2 = \frac{\sigma_r + \sigma_z}{2} - \sqrt{\left(\frac{\sigma_r - \sigma_z}{2}\right)^2 + \tau_{rz}^2}, \quad \sigma_3 = \sigma_\varphi. \quad (5)$$

(главные напряжения необходимы для формулировки критерия образования неупругих деформаций в заштрихованной области на рис. 1б). В (5) входит напряжение τ_{rz} , относительно которого предполагаем, что $\tau_{rz} = 0$ не только на границе выработки, но и всюду в зоне неупругих (пластических) деформаций. Поскольку главные оси тензоров T_σ и T_ε совпадают, из условия $\tau_{rz} = 0$ следует, что всюду в области пластических деформаций

$$2\varepsilon_{rz} = \frac{\partial u}{\partial z} + \frac{\partial w}{\partial r} = 0. \quad (6)$$

Формула (6) — первое из используемых далее условий. Построим теперь второе уравнение для определения смещений u, w . Для этого, прежде всего, примем гипотезу о том, что рассматриваемое пластическое состояние — это состояние полной пластичности, когда два главных напряжения σ_2, σ_3 равны между собой. Поскольку $\tau_{rz} = 0$, то из (5) следует, что $\sigma_2 = \sigma_z$, поэтому предполагаются равными напряжения σ_z и σ_φ (в теории пластичности [16–19] это условие соответствует нахождению на ребре призмы Треска).

Среднее напряжение и средняя деформация предполагаются связанными законом упругого изменения объема:

$$\varepsilon_r + \varepsilon_\varphi + \varepsilon_z = \left(\frac{1-2\nu}{E}\right)(\sigma_r + \sigma_\varphi + \sigma_z). \quad (7)$$

При этом параметры Лодэ–Надаи $\mu_\sigma, \mu_\varepsilon$ могут не совпадать:

$$\mu_\sigma = \frac{2\sigma_z - (\sigma_r + \sigma_\varphi)}{\sigma_r - \sigma_\varphi} \neq \mu_\varepsilon = \frac{2\varepsilon_z - (\varepsilon_r + \varepsilon_\varphi)}{\varepsilon_r - \varepsilon_\varphi}.$$

Этот факт не противоречит теории идеальной пластичности на ребре призмы Треска, согласно которой вектор приращений пластических деформаций должен находиться внутри угла, образованного нормальными к соседним граням призмы Треска [20].

Обратимся теперь к решению задачи. Полагая $\sigma_r - \sigma_\varphi = \sigma_r - \sigma_z = 2k$, где k — предел упругости материала на сдвиг, из (1) получаем

$$\sigma_r = -2k \ln \frac{r}{a}, \quad \sigma_\varphi = \sigma_z = -2k - 2k \ln \frac{r}{a}. \quad (8)$$

Отметим, что решение (8) почти такое, как в случае плоской деформации, с одним отличием — в случае плоской деформации $\sigma_z = (\sigma_r + \sigma_\varphi) / 2$.

Далее рассматривается деформированное состояние. Для определения деформированного состояния используем (6), (7), (2), (8). Подставляя (8), (2) в (6), (7), находим следующие уравнения для определения смещений u, w :

$$\frac{\partial u}{\partial z} + \frac{\partial w}{\partial r} = 0, \quad \frac{\partial u}{\partial r} + \frac{u}{r} + \frac{\partial w}{\partial z} = \frac{1-2\nu}{E} \left(-4k - 6k \ln \frac{r}{a} \right). \quad (9)$$

Дифференцируя первое уравнение по z , второе — по r , исключая производную $\partial^2 w / \partial r \partial z$ из обоих уравнений, имеем

$$\frac{\partial^2 u}{\partial r^2} + \frac{1}{r} \frac{\partial u}{\partial r} - \frac{u}{r^2} = \frac{\partial^2 u}{\partial z^2} - \frac{(1-2\nu)6k}{Er}. \quad (10)$$

Если первое уравнение в (9) продифференцировать по r , а второе — по z , то, исключая $\partial^2 u / \partial r \partial z$, запишем

$$\frac{\partial^2 w}{\partial r^2} + \frac{1}{r} \frac{\partial w}{\partial r} = \frac{\partial^2 w}{\partial z^2}. \quad (11)$$

Решение основного уравнения в (10) ищем в виде произведения двух функций с разделяющимися перемещениями:

$$u = f(r)g(z). \quad (12)$$

Подставляя (12) в (10), получаем

$$\frac{g''(z)}{g(z)} = \frac{f'' + \frac{1}{r}f' - \frac{f}{r^2}}{f} = -\lambda^2. \quad (13)$$

Из (13) следует, что

$$g(z) = C_1 \cos \lambda z + C_2 \sin \lambda z. \quad (14)$$

Функция f при этом удовлетворяет уравнению Бесселя:

$$f'' + \frac{1}{r}f' + \left(\lambda^2 - \frac{1}{r^2} \right) f = 0. \quad (15)$$

Вместо r в (15) удобно ввести новую переменную $\rho = \lambda r$, тогда

$$\frac{\partial f}{\partial r} = \frac{\lambda df}{d\rho}, \quad \frac{\partial^2 f}{\partial r^2} = \frac{\lambda^2 d^2 f}{d\rho^2}, \quad r = \frac{\rho}{\lambda},$$

поэтому

$$f'' + \frac{1}{r}f' + \left(\lambda^2 - \frac{1}{r^2} \right) f = 0. \quad (16)$$

Отсюда следует [21], что функция f , удовлетворяющая (16), есть функция Бесселя первого порядка. Частное решение (10) разыскиваем в виде

$$u_{\text{частное}} = \frac{(1-2\nu)}{E} 3kr \ln r. \quad (17)$$

Если искать решение (11) в виде (12), то получим, что функция $f(r)$ будет удовлетворять уравнению

$$f'' + \frac{1}{r} f' + \lambda^2 f = 0 \quad (18)$$

и при замене $\rho = \lambda r$ уравнение (18) преобразится в

$$f'' + \frac{1}{\rho} f' + f = 0, \quad (19)$$

т. е. в уравнение Бесселя с нулевым порядком.

Относительно функций u и w предполагаем, что на границе $r = a$ функция u представляет собой полусинусоиду с уравнением

$$u = A \sin \frac{\pi z}{L} + C,$$

где $C = -\frac{(1-2\nu)}{E} 3k a \ln a$.

Здесь $[0, L]$ — интервал, на котором изменяются функции u, w . При этом w примет на данном отрезке вид

$$w = B \cos \frac{\pi z}{L},$$

где в точках $z = 0$ и $z = L$ значения w будут иметь разные знаки.

Исходя из описанного представления поведения функций u и w , а также из общей теории решения уравнения Бесселя [21], будем искать решения u и w как произведения следующих функций:

$$u = [C_1 J_1(\lambda r) + C_2 Y_1(\lambda r)] \sin \lambda z - \frac{(1-2\nu)}{E} 3k r \ln r, \quad (20)$$

$$w = [D_1 J_0(\lambda r) + D_2 Y_0(\lambda r)] \cos \lambda z,$$

где C_1, C_2, D_1, D_2 — константы; $\lambda = \pi/L$, L — длина, на которой изменяются смещения u, w ; J_1, J_0, Y_0, Y_1 — функции Бесселя и Неймана соответственно.

Для определения связей между константами C_1, C_2, D_1, D_2 используем уравнение (9). Подстановка (20) в (9) дает

$$C_1 = D_1, \quad C_2 = D_2. \quad (21)$$

Константы C_1 и C_2 в (20) находим из граничных условий

$$u|_{r=a} = u_0(z), \quad w|_{r=a} = w_0(z).$$

В нашем случае при $r = a$ имеем

$$u|_{r=a} = [C_1 J_1(\lambda a) + C_2 Y_1(\lambda a)] \sin \lambda z - \frac{(1-2\nu)}{E} 3k a \ln a, \quad (22)$$

$$w|_{r=a} = [C_1 J_0(\lambda a) + C_2 Y_0(\lambda a)] \cos \lambda z.$$

Решая систему, получим

$$C_1 = \frac{AY_0(\lambda a) - BY_1(\lambda a)}{\Delta}, \quad C_2 = \frac{BY_1(\lambda a) - AY_0(\lambda a)}{\Delta},$$

где $\Delta = J_1(\lambda a)Y_0(\lambda a) - J_0(\lambda a)Y_1(\lambda a)$; A, B — константы из граничных условий $u = A \sin(\pi z/L) + C$, $w = B \cos(\pi z/L)$.

Теперь остается найти упругопластическую границу исходя из (20) и условия

$$\varepsilon_r - \varepsilon_\varphi = 2\gamma_s = \frac{\partial u}{\partial r} - \frac{u}{r},$$

где γ_s — предел упругости материала на сдвиг (максимальная сдвиговая деформация в пластической зоне превышает значение γ_s). На основании (20) получаем

$$\left[C_1 \left(\lambda J_0(\lambda r) - \frac{2J_1(\lambda r)}{r} \right) + C_2 \left(\lambda Y_0(\lambda r) - \frac{2Y_1(\lambda r)}{r} \right) \right] \sin \lambda z - \frac{1-2\nu}{E} 3k = 2\gamma_s.$$

Данное уравнение служит для определения упругопластической границы: при заданном z находим отсюда соответствующее r . При этом упругопластическая граница может не примыкать к точкам, где $z = 0$, $\lambda z = \pi$.

Примеры расчетов для гранита. Пусть $E = 0.49 \cdot 10^5$ МПа, $\nu = 0.25$, $k = 200$ МПа, $A = 40.5 \cdot 10^{-3}$ м, $B = 41 \cdot 10^{-3}$ м, высота исследуемой части ствола $L = 10$ м, радиус выработки $a = 2$ м, $\mu = E/[2(1+\nu)]$ МПа, $\lambda = \pi/L = 0.314$ 1/м, $\gamma_s = k/(2\mu) = 5.102 \cdot 10^{-3}$.

Для данного случая упругопластическая граница с функцией $z = z(r)$, $r \geq 2$ и длиной ствола $L = 10$ м имеет вид, показанный на рис. 2а. На рис. 2б, в представлены распределения смещений u и w в зависимости от z для разных радиусов.

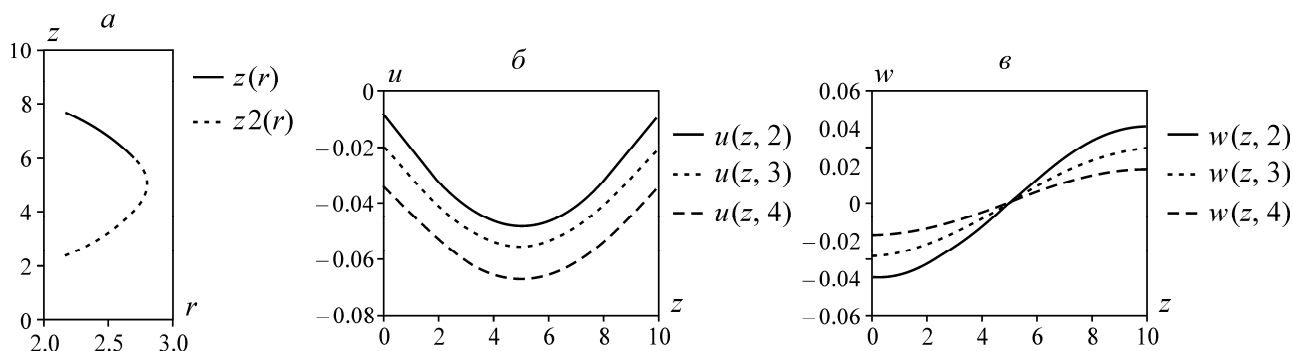


Рис. 2. Упругопластическая граница (а) и распределение смещений u (б) и w (в) в пластической области по оси z для разных радиусов ($r = 2, 3, 4$)

ВЫВОДЫ

Решена упругопластическая задача о сжатии массива пород с цилиндрической выработкой в осесимметричном случае. По данным измерений смещений на границе выработки находятся смещения в зоне неупругих деформаций вокруг выработки, по смещениям определяются деформации, по деформациям — упругопластическая граница. Данное решение можно использовать для оценки области разрушения вокруг выработок.

СПИСОК ЛИТЕРАТУРЫ

1. Грицко Г. И., Власенко Б. В., Мусалимов В. М. Экспериментально-аналитический метод определения напряжений в угольном пласте // ФТПРПИ. — 1971. — № 1. — С. 3–10.
2. Грицко Г. И., Власенко Б. В., Миренков В. Е. К определению деформаций и перемещений в массиве горных пород экспериментально-аналитическим методом // ФТПРПИ. — 1970. — № 3. — С. 3–7.
3. Цыцаркин В. Н., Грицко Г. И. Определение смещений на контуре подготовительных выработок и нагрузки на крепь // ФТПРПИ. — 1966. — № 5. — С. 18–20.
4. Назаров Л. А., Назарова Л. А., Усольцева О. М., Кучай О. А. Применение решений обратных задач для оценки состояния и свойств геомеханических объектов различного масштабного уровня // ФТПРПИ. — 2014. — № 5. — С. 33–43.
5. Назаров Л. А., Назарова Л. А., Хан Г. Н., Вандамм М. Оценка глубины и размеров подземной полости в грунтовом массиве по конфигурации мульды сдвижения на основе решения обратной задачи // ФТПРПИ. — 2014. — № 3. — С. 3–9.
6. Галин Л. А. Плоская упругопластическая задача // ПММ. — 1946. — Т. 10. — Вып. 3. — С. 367–386.
7. Ивлев Д. Д. Об определении перемещений в задаче Л. А. Галина // ПММ. — 1957. — Т. 21. — Вып. 5. — С. 716–717.
8. Остросаблин Н. И. Упругопластическое распределение напряжений около круговой выработки при экспоненциальном условии текучести // Горное давление в капитальных и подготовительных выработках. — Новосибирск: ИГД СО АН, 1973. — С. 32–39.
9. Перлин П. И. Приближенный метод решения упруго - пластических задач // Инженерный сб. — 1960. — Т. 28. — С. 145–150.
10. Сажин В. С. Определение области неупругих деформаций с учетом изменения сцепления породы // ФТПРПИ. — 1967. — № 6. — С. 93–95.
11. Мирсалимов В. М. Решение некоторых периодических упругопластических задач // ПМТФ. — 1975. — № 6. — С. 115–121.
12. Ивлев Д. Д., Ершов Л. В. Метод возмущений в теории упругопластического тела. — М.: Наука, 1978. — 208 с.
13. Аннин Б. Д., Черепанов Г. П. Упругопластическая задача. — Новосибирск: Наука, 1983. — 239 с.
14. Протосеня А. Г., Карасев М. А., Беляков Н. А. Упругопластическая задача для выработок различных форм поперечных сечений при условии предельного равновесия Кулона // ФТПРПИ. — 2016. — № 1. — С. 71–81.
15. Чанышев А. И., Имамутдинов Д. И. Решение упругопластической задачи о протяженной цилиндрической выработке // ФТПРПИ. — 1988. — № 5. — С. 24–32.
16. Ишлинский А. Ю. Осесимметричная задача и проба Бринеля // ПММ. — 1944. — Т. 8. — Вып. 3.
17. Гоффман О., Закс Г. Введение в теорию пластичности для инженеров. — М.: Машгиз, 1957.
18. Томленов А. Д. Теория пластических деформаций металлов (Напряженное состояние при ковке и штамповке). — М.: Машгиз, 1951.
19. Березанцев В. Г. Расчет оснований сооружений (пособие по проектированию). — Л.: Стройиздат, 1970. — 201 с.
20. Качанов Л. М. Основы теории пластичности. — М.: Наука, 1969. — 420 с.
21. Корн Г., Корн Т. Справочник по математике (для научных работников и инженеров). — М.: Наука, 1977. — 831 с.